

**Proceeding Series of the Brazilian Society of Computational and Applied Mathematics**

---

## Aplicação de $TU$ -subgrafos em Teoria Espectral de Grafos

Freddy William Okino Guedes<sup>1</sup>

Bruno Dias Amaro<sup>2</sup>

Instituto de Matemática, UFMS, Campo Grande, MS

### 1 Introdução

Seja  $G$  um grafo simples com  $n$  vértices. Denotamos por  $A(G)$  a matriz de adjacência de  $G$  e  $D(G)$  a matriz diagonal dos graus dos vértices de  $G$ . Os  $TU$ -subgrafos de um grafo  $G$  podem ser utilizados para determinar o polinômio característico da matriz laplaciana sem sinal  $Q = D(G) + A(G)$  de um grafo  $G$  sem recorrer ao cálculo de determinantes.

### 2 $TU$ -subgrafos: Definições e resultados em TEG

**Definição 2.1** ([1], [2]). (*TU-Subgrafo*) Seja  $G$  um grafo conexo com  $n$  vértices e  $m$  arestas, onde  $m \geq n$  e  $Q_G(x) = p_0x^n + p_1x^{n-1} + \dots + p_{n-1}x + p_n$  o  $Q$ -polinômio de  $G$ . Os subgrafos de  $G$  cujas componentes são **árvores** ou **grafos unicíclicos ímpares** (isto é, um grafo com um único ciclo e de comprimento ímpar) são chamados de  **$TU$ -subgrafos**.

**Definição 2.2** ([1], [2]). (*Peso de um TU-Subgrafo*) Suponha que  $H$  seja um  $TU$ -subgrafo de  $G$  que contém  $c$  uniciclos e  $s$  árvores  $\mathcal{T}_1, \mathcal{T}_2, \dots, \mathcal{T}_s$ . Então, o **peso**  $W(H)$  de  $H$  é definido como  $W(H) = 4^c \prod_{i=1}^s (1 + |E(\mathcal{T}_i)|)$ , onde  $|E(\mathcal{T}_i)|$  é o número de arestas de  $\mathcal{T}_i$ .

**Teorema 2.1** ([1], [2]). Se  $Q_G(x) = p_0x^n + p_1x^{n-1} + \dots + p_{n-1}x + p_n$  é o  $Q$ -polinômio de um grafo  $G$ , então  $p_0 = 1$  e  $p_j = \sum_{H_j} (-1)^j W(H_j)$ , onde a somatória é realizada sobre todos os  $TU$ -subgrafos  $H_j$  de  $G$  com  $j$  arestas.

### 3 Exemplo

Neste exemplo mostramos uma aplicação direta do Teorema 2.1. Assim, seja  $\mathcal{G}$  o grafo exibido na Figura 1. O  $Q$ -polinômio desse grafo é  $Q_{\mathcal{G}}(x) = x^5 - 12x^4 + 50x^3 - 90x^2 + 68x - 16$ . Assim, sejam  $H_{i,j}$  todos os  $j$  subgrafos do grafo  $\mathcal{G}$  com exatamente  $i$  arestas.

•  $H_{1,j}$  : Nesse caso temos 6 subgrafos  $H_{1,j}$  de  $\mathcal{G}$ , onde cada  $H_{1,j}$  é composto por uma árvore com uma aresta. Assim, conforme Definição 2.2,  $W(H_{1,j}) = 4^0(1 + 1) = 2$  para  $j = 1, 2, \dots, 6$  e, portanto,  $p_1 = \sum_{j=1}^6 (-1)^1 W(H_{1,j}) = -(2 + 2 + 2 + 2 + 2 + 2) = -12$ .

---

<sup>1</sup>freddyokino@hotmail.com

<sup>2</sup>bruno.amaro@ufms.br

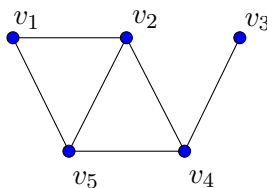


Figura 1: Grafo  $\mathcal{G}$  utilizado como exemplo de aplicação do Teorema 2.1.

• $H_{2,j}$  : Nesse caso temos 15 subgrafos  $H_{2,j}$  de  $\mathcal{G}$ , donde 10 deles ( $j = 1, 2, \dots, 10$ ) são compostos por uma árvore com duas arestas e os 5 demais ( $j = 11, 12, \dots, 15$ ) são compostos por duas árvores com uma aresta cada. Assim,  $W(H_{2,j}) = 4^0(1 + 2) = 3$  para  $j = 1, 2, \dots, 10$  e  $W(H_{2,j}) = 4^0(1 + 1)(1 + 1) = 4$  para  $j = 11, 12, \dots, 15$  e, portanto,  $p_2 = \sum_{j=1}^{15} (-1)^2 W(H_{2,j}) = 10 \cdot 3 + 5 \cdot 4 = 50$ .

• $H_{3,j}$  : Nesse caso temos 20 subgrafos  $H_{3,j}$  de  $\mathcal{G}$ , donde 2 deles ( $j = 1, 2$ ) são compostos por um ciclo ímpar, 13 deles ( $j = 3, 4, \dots, 15$ ) são compostos por uma árvore com três arestas e os 5 demais ( $j = 16, 17, \dots, 20$ ) são compostos por 2 árvores na qual uma árvore tem uma aresta e a outra tem duas. Logo,  $W(H_{3,j}) = 4^1(1 + 0) = 4$ , para  $j = 1, 2$ ,  $W(H_{3,j}) = 4^0(1 + 3) = 4$  para  $j = 3, 4, \dots, 15$  e  $W(H_{3,j}) = 4^0(1 + 1)(1 + 2) = 6$  para  $j = 16, 17, \dots, 20$  e, portanto,  $p_3 = \sum_{j=1}^{20} (-1)^3 W(H_{3,j}) = -(2 \cdot 4 + 13 \cdot 4 + 5 \cdot 6) = -90$ .

• $H_{4,j}$  : Nesse caso temos 15 subgrafos  $H_{4,j}$  de  $\mathcal{G}$ , donde 1 subgrafo ( $j = 1$ ) é composto por um ciclo ímpar e uma árvore com uma aresta, 5 deles ( $j = 2, 3, \dots, 6$ ) são compostos por um ciclo ímpar, 8 deles ( $j = 7, 8, \dots, 14$ ) são compostos por árvores que tem quatro arestas e o último subgrafo ( $j = 15$ ) é composto por um ciclo par, donde **não é um TU-subgrafo** e não sendo usado, portanto, na contagem dos pesos. Logo,  $W(H_{4,1}) = 4^1(1 + 1) = 8$ ,  $W(H_{4,j}) = 4^1(1 + 0) = 4$ , para  $j = 2, 3, \dots, 6$  e  $W(H_{4,j}) = 4^0(1 + 4) = 5$ , para  $j = 7, 8, \dots, 14$  e, portanto,  $p_4 = \sum_{j=1}^{14} (-1)^4 W(H_{4,j}) = (8 + 5 \cdot 4 + 8 \cdot 5) = 68$ .

• $H_{5,j}$  : Nesse caso temos 6 subgrafos  $H_{5,j}$  de  $\mathcal{G}$ , donde 4 deles ( $j = 1, 2, \dots, 4$ ) são compostos por um ciclo ímpar cada e os 2 demais ( $j = 5, 6$ ) são compostos por um ciclo par cada, donde **não é um TU-subgrafo**. Logo,  $W(H_{5,j}) = 4^1(1 + 0) = 4$ , para  $j = 1, 2, \dots, 4$  e, portanto,  $p_5 = \sum_{j=1}^4 (-1)^5 W(H_{5,j}) = -(4 \cdot 4) = -16$ .

## 4 Conclusões

Os  $TU$ -subgrafos nos dá uma alternativa de determinar o polinômio característico de uma matriz laplaciana sem sinal  $Q$  associada a um grafo  $G$  sem recorrer ao cálculo do determinante. Esse é um exemplo que mostra a conexão entre a Teoria Espectral de Grafos e as propriedades estruturais de um grafo.

## Referências

- [1] B. D. Amaro, A soma dos maiores autovalores da matriz laplaciana sem sinal em famílias de grafos, Tese de Doutorado, IMECC/UNICAMP, 2014.
- [2] D. Cvetković. *Spectral theory of Graphs Based on the Signless Laplacian - A quick Outline*: Research Report, Mathematical Institute SANU, 2010.